

التوزيع الحجمي لتجمعات ومسامات تربة ذات محتوى جبسي مختلف

نمير طه مهدي

قسم علوم التربة والمياه — كلية الزراعة — جامعة بغداد

المستخلص

اجري هذا البحث بهدف تقييم بناء تربة ذات محتوى جبسي مختلف (5 - 502 غم جبس.كغم⁻¹ تربة) وذلك بدراسة توزيع احجام تجمعات التربة ومعدل القطر الموزون MWD ومن ثم تقييم النظام المسامي لهذه التربة بدراسة مسامات التربة المملوءة بالهواء والمسامات الخازنة للماء وسعة مسك الماء الجاهز وميل منحنيات الوصف الرطوبي وتوزيع احجام مسامات التربة. قيس التوزيع الحجمي لتجمعات التربة بطريقة النخل الرطب. قدرت منحنيات الوصف الرطوبي واستعمل برنامج حاسوب لاجراء التوافق لبيانات الجهد ψ ضد المحتوى الرطوبي الحجمي θ ذات العلاقة غير الخطية وذلك لتقدير معايير معادلة van Genuchten (28) ، α و n و m لوصف بيانات منحنيات الوصف الرطوبي رياضياً. اعتمدت معادلة van Genuchten (28) بصيغتها التفاضلية لإيجاد ميل منحنيات الوصف الرطوبي لتقدير سعة التربة على الاحتفاظ بالماء او فقده عند تعرض التربة لاي جهد ماء مسلط وهذا يعد دالة لتوزيع احجام مسامات التربة. استعملت معادلة الخاصية الشعرية لتقدير القطر الفعال (D) لمسامات التربة. اظهرت النتائج ان بناء التربة الجبسية ضعيف وان توزيع احجام تجمعات التربة من النوع الصغير microaggregate، اذ ان اكثر من 80% من تجمعات التربة هي بحجم اقل من 250 مايكرون. انخفض معدل القطر الموزون من 0.375 الى 0.165 ملم عند زيادة محتوى الجبس من 5 الى 255 غم جبس. كغم⁻¹ تربة، من ثم ازدادت قيم MWD الى 0.252 ملم للنموذج 502 غم جبس. كغم⁻¹ تربة. ازداد ميل منحنيات الوصف الرطوبي بزيادة محتوى التربة من الجبس وان اعلى قمة (peak) للميل كانت عند جهد ماء 50 كيلوباسكال لتربة محتواها الجبسي 502 غم جبس. كغم⁻¹ تربة مما انعكس على كمية الماء الجاهز. ازدادت نسبة حجم المسامات الخازنة للماء في التربة كدالة لسعة مسك الماء عندما قلت اقطار المسامات الفعالة اذ تراوحت بين 64 و 90 سم³.سم⁻³ لمسامات اقطارها اقل من 29.8 مايكرون وقد حصلت هذه الزيادة عندما انخفض المحتوى الجبسي للتربة. في حين ان نسبة حجم المسامات المملوءة بالهواء وقد تراوحت بين 10 و 36 سم³.سم⁻³ ، لمسامات اقطارها اكبر من 29.8 مايكرون، وهذه النسبة قد ازدادت بزيادة محتوى التربة من الجبس وتعد هذه مسامات ناقلة للماء تساهم في بزل ماء التربة.

The Iraqi Journal of Agricultural Sciences 40 (5):22-36 (2009)

Mahdi

AGGREGATES AND PORE SIZE DISTRIBUTION FOR SOIL AT DIFFERENT GYPSUM CONTENTS

N.T.Mahdi

Dept. of Soil and Water Sciences – College of Agriculture – University of Baghdad

ABSTRACT

The objectives of this experiment were to assess the structure of soil at different gypsum content (5-502 gm gypsum. Kg⁻¹ soil), by studied the aggregate size distribution and mean weight diameter (MWD). Then after assess the pore system for this soil by studied air filled porosity, storage pores, available water holding capacity, the slope of water retention curve and the pore size distribution. The aggregates size distribution was measured by wet sieves. The soil-water retention curve was also estimated, and used a computer program to determine the best-fit for experimental data of water potential verses volumetric water content which have nonlinear relation and to determine the parameter of van Genuchten (28) equation α , n and m . The derivative of van Genuchten (28) equation was used to measure the change in the slope of soil water retention curve for estimate the capacity of soil water retain or lost at deferent water potential as function of pore size distribution. The capillary rise equation was used to estimate the effective pore diameter. The result show that gypsiferous soil has weak structure and the aggregate size distribution which type microaggregate, less than 250 μ m in diameter was more than 80%. The MWD was decreased from 0.375 to 0.165 mm when gypsum content increase from 5 to 255 gm gypsum.kg⁻¹ soil, and then the value of MWD increased to 0.252 mm for sample 502 gm gypsum.kg⁻¹ soil. The slope of soil-water retention curve increased with increasing gypsum and the maximum peak of slope found at 50 kPa water potential for soil gypsum content 502 gm gypsum.kg⁻¹ soil. The pore volume increased with decrease the effective diameter it is ranged between 64 and 90 cm³.cm⁻³ for pores in diameter less than 29.8 μ m, these result associated with decrease gypsum content in soil. The air filled porosity ranged between 10 and 36 cm³.cm⁻³ for pores in diameter more than 29.8 μ m. The air filled porosity increased with increasing gypsum content in soil.

المقدمة

تجمعات التربة ولكن الزيادة بكميات كبيرة سببت زيادة في تماسك اجزاء التربة مما اثر سلباً في صلاحية الترب للزراعة. حصل دغرامه جي واخرون (4) على تغيرات ملحوظة في صفات التربة الفيزيائية والكيميائية نتيجة تغير نسب الجبس في التربة وان زيادة نسبة الجبس عن 25% سببت تدهوراً في الصفات الفيزيائية المدروسة.

يعد التوزيع الحجمي والهندسي لمسامات التربة من اهم الخصائص الفيزيائية والمائية للتربة لما لها من اثر مهم في السيطرة والتحكم بحركة الموائع وخبزها في التربة وتوفير حيز مسامي مملؤ بالهواء مهم للنشاط الحيوي والفسولوجي لمنطقة الرايزوسفير (16). ان البناء المسامي للتربة في حالة من التغير المستمر بسبب تاثير الاجهادات الخارجية والداخلية لنظام التربة (24). يسعى الباحثون دائماً الى تحسين بناء مسامي مثالي للتربة والابقاء عليه ثابتاً قدر الامكان خدمة للنتاج النباتي وهذا يعد هدف رئيسي من اهداف ادارة التربة (18 و 30). لقد اثبتت دراسات عديدة ان ثبات مسامات التربة مرتبط بثبات بناء التربة وان وجود المادة العضوية او المحسنات في التربة وبالاخص وجودها في ترب ناعمة النسجة قد حسن بناء التربة بشكل معنوي مما انعكس على توزيع حجمي مسامي جيد، اذ ازدادت اعداد واحجام وثبات الاقطار الفعالة لمسامات التربة $effective\ pores\ diameter$ (16). بين Startsev و McNabb (26) و McNabb واخرون (24) ان المفاهيم المرتبطة بمنحى الوصف الرطوبي كمسامات التربة الكبيرة $macropores$ والمسامات الدقيقة $micropores$ والمسامات المملوءة بالهواء $air-filled\ pores$ والسعة الحقلية $field\ capacity$ و الماء الجاهز $available\ water$ هي مفاهيم دالة لتوزيع احجام مسامات التربة، وان دراسة هذه المفاهيم بشكل شامل تعطي فهم متكامل لتغيرات احجام مسامات التربة عند تعرض التربة لظروف فيزيائية مختلفة.

صنف Virto واخرون (30) احجام مسامات التربة كميّاً بحسب مفهوم قطر المسام الفعال وفيزيائياً بحسب عملها ولكل مدى من احجام مسامات التربة، فذكروا ان المسامات ذات حجم اكبر من 500 مايكرون هي تشققات او صدوع $fissures$ في جسم التربة، والمسامات ذات المدى الحجمي

تشكل الترب الجبسية مساحة واسعة اذ تقارب 20% من المساحة الكلية للعراق. وان جزء منها مستغل زراعياً وجزء اخر قد يستغل لاحقاً وفق التوسع الافقي والعمودي في استعمال هذه الاراضي لاغراض الزراعة (5). تعرف الترب الجبسية $gypsiferous\ soils$ بانها ترب تحتوي على اكثر من 2% جبس وتمتلك طبقة محتواها من الجبس 14% ، او هي ترب تحتوي على كمية من الجبس كافية للتأثير في نمو النبات (17). تتواجد بلورات الجبس في الترب الجبسية بشكل عديسي او مغزلي ، وتتراوح احجامها بين حجم الغرين وحجم الرمل الناعم والرمل المتوسط وبعض الاحيان بحجم الرمل الخشن فقد اكد Al-Rawi و Sys (10) ان حجم بلورات الجبس تزداد بزيادة نسبته في التربة اذ ذكر ان الترب ذات نسبة جبس اقل من 10% كان حجم بلورات الجبس بحجم الغرين والرمل الناعم في حين كان حجم بلورات الجبس بحجم الرمل الناعم والرمل المتوسط في الترب ذات المحتوى الجبسي اكثر من 10%.

ان ما يميز الترب الجبسية بناءها غير الثابت اذ اشار FAO (17) ان لمعظم الترب الجبسية تجمعات ضعيفة وان الدقائق الاولية للترب الجبسية ضعيفة في قابليتها على التجمع لضعف قوة التماسك التي تجمع هذه الدقائق الى بعضها ولقلة السعة التبادلية للأيونات الموجبة. ان احد اسباب ضعف بناء الترب الجبسية قابلية ذوبان الجبس عند التبلل اذ ذكر Homae و Firouzi (20) ان قابلية ذوبان الجبس في الماء يساوي 2.6 غم.لتر⁻¹ في درجة حرارة 25 °م وضغط جوي واحد، وبين Juckus (21) ان ذوبان الجبس في الماء المقطر عند درجة 20 °م كان اكثر من ذوبان الكلس بـ 183 مرة . اشار Smith و Robenson (25) ان نسب الجبس اقل من 10% لم تؤثر في بناء التربة في حين سببت نسب الجبس اكثر من 10% ضعف وعدم استقرار بناء التربة ، واكد Boyadgiev (13) ان زيادة نسب الجبس عن 15% جعل الترب ذات بناء غير مستقر وقد حصل الباحث على زيادة في الايصالية المائية وثبات ضعيف لتجمعات تربة محتواها من الجبس اكثر من 10%. واكد الجنابي واخرون (2) ان زيادة الجبس بكميات قليلة لها تأثير ايجابي في ثبات

المواد وطرائق العمل

جلبت نماذج تربة من مركز بحوث الترب الجبسية في قضاء الدور من الافقين السطحي Ap غير الجبسي (0-20 سم)، والافق تحت السطحي C₁ الجبسي (20-40 سم). جففت نماذج التربة هوائياً، ومزجت تربة كل افق ثم طحنت ومررت من منخل قطر فتحاته 2 ملم. تم تعيين نسجة تربة كل افق بطريقة الماصة (15) بعد ازالة الجبس بالغسل. حددت كذلك بعض الصفات الفيزيائية والكيميائية لنماذج التربة وفق الطرائق الموصوفة من قبل مختبر الملوحة الاميركي (27)، ويبين جدول 1 بعض خصائص التربة المستعملة في البحث.

جدول 1. بعض الخصائص الفيزيائية والكيميائية للتربة الجبسية المستعملة في الدراسة (تربة الافق السطحي Ap وتربة الافق الجبسي C₁) ولنماذج تربة تم تحضيرها بخلط تربة الافقين Ap و C₁

الافق الجبسي C ₁	تربة ذات محتوى جبسي مختلف				الافق السطحي Ap	خصائص التربة
502	255	125	64	32	5	الجبس (غم.كغم-1)
679	588	522	443	401	321	الرمال (غم.كغم-1)
260	307	335	375	394	395	الغرين (غم.كغم-1)
61	105	143	182	205	284	الطين (غم.كغم-1)
Sandy loam	Sandy loam	Loam	Loam	Loam	Clay loam	صنف نسجة التربة
1.22	1.32	1.39	1.44	1.49	1.45	الكثافة الظاهرية للتربة (ميكاغرام. م-3)
2.39	2.54	2.59	2.60	2.63	2.65	كثافة التربة الحقيقية (ميكاغرام. م-3)
0.49	0.48	0.46	0.45	0.43	0.45	المسامية الكلية
190.0	197	203	221	247	264.0	كاربونات الكالسيوم (غم.كغم-1)
2.83	2.74	2.61	2.54	2.49	2.47	الايصلالية الكهربائية (EC)، ديسيمنز.متر-1
7.69	7.66	7.63	7.59	7.56	7.53	الأس الهيدروجيني pH
15.6	17.3	20.7	22.6	23.0	23.3	السعة التبادلية للأيونات الموجب (سنتمول+، كغم-1)
0.7	1.7	2.3	6.0	6.1	6.3	المادة العضوية (غم.كغم-1)

النماذج بنسبة 2 : 1 ماء-تربة. مزج الخليط بقضيب زجاجي مرتين يومياً ولمدة ست أيام، بعد ذلك جففت التربة بالفرن في درجة حرارة 45 °م ولمدة 48 ساعة (9). قيست الكثافة الظاهرية لنماذج الترب هذه بطريقة الاسطوانة المعدنية (11)، باستعمال اسطوانات معدنية بقطر 5 سم وطول 5 سم وبثلاثة مكررات. كذلك قدرت الكثافة الحقيقية لنماذج الترب بطريقة البكنوميتر الموصوفة في (12).

من 500 الى 50 مايكرون هي مسامات ناقلة لمحلول التربة transmission pores ، والمسامات التي مداها الحجمي من 50 الى 5 مايكرون هي مسامات خازنة للماء والاملاح والمخلفات العضوية المختلفة storage pores ، اما المسامات الاقل حجماً من 0.5 مايكرون فهي مسامات متبقية residual pores .

كان الهدف من اجراء هذا البحث هو تقويم بناء تربة ذات محتوى جبسي مختلف من خلال دراسة ثبات بنائها وتوزيع احجام تجمعات التربة ومن ثم دراسة توزيع احجام المسامات لارتباطها الوثيق ببناء التربة ولاهيتها في مسك الموانع وحركتها وتأثيرها في الصفات المائية للتربة.

حضرت نماذج تربة ذات محتوى جبسي مختلف وذلك بخلط تربة الافقين Ap و C₁ بنسب مختلفة للحصول على نماذج محتواها من الجبس 5 و 32 و 64 و 125 و 255 و 502 غم جبس . كغم-1 تربة . ويبين جدول 1 بعض صفات نماذج الترب التي تم تحضيرها .

اخذ واحد كيلوغرام من كل نموذج تربة ووضع في إناء مصنوع من مادة البولي اثيلين، وأضيف ماء مقطر إلى

لاصق شفاف وجمعت كل 20 حلقة في عمود واحد. تم تحضير ست أعمدة يتكون كل عمود من 20 حلقة وبطول إجمالي 20 سم. أغلقت إحدى نهايتي العمود بورق ترشيح ومشبك سلكي واحكم الربط جيداً. عبئت الأعمدة بعينات التربة المجففة بعد أن طحنت ونخلت بمنخل 2 ملم. تم تحديد كتلة التربة اللازمة لملي الحجم المحدد من العمود بحيث تم الحصول على كثافة ظاهرية مساوية للكثافة الظاهرية التي تم تحديدها مسبقاً. ربطت أعمدة التربة بالخاصية الشعرية باستعمال ماء مقطر مغلي ومبرد. قطعت الأعمدة بواسطة آلة حادة وأخذت الحلقات وسلطت عليها جهود مختلفة بين 0.1 و 1500 كيلوباسكال بعد أن شبعت التربة بالماء لمدة 24 ساعة. استعمل جهاز Sintered - Glass Funnels للجهود 0.1 و 2.5 و 5 كيلوباسكال، وجهاز أقراص الضغط للجهود 10 و 20 و 33 و 50 و 100 و 1000 و 1500 كيلوباسكال.

اجري تطابق fitting معادلة van Genuchten

(28) لبيانات منحنيات الوصف الرطوبي ووصفت العلاقة بين θ و ψ باستعمال المعادلة الآتية :

$$\theta = \theta_r + (\theta_s - \theta_r) \left[1 + (\alpha \psi)^n \right]^{-m} \quad [1]$$

برنامج (Statistica (non-linear regression fitting)، المشار له في (3).

لمعرفة مقدار التغير في ميل منحنيات الوصف الرطوبي والذي يساوي نسبة التغير في المحتوى الرطوبي الحجمي θ الى التغير في الجهد المائي المسلط على التربة ψ اشتقت معادلة 1 واستحصلت معادلة الميل الآتية:

$$\frac{d\theta}{d\psi} = -\alpha n m (\theta_s - \theta_r) (\alpha \psi)^{n-1} \left[1 + (\alpha \psi)^n \right]^{-m-1} \quad [2]$$

كسرت نماذج التربة الجافة يدوياً وعناية ، ثم نخلت هذه النماذج عبر منخل قطر فتحاته 9 ملم ، واستقبل الجزء النافذ على منخل قطر فتحاته 4 ملم . استعملت تجمعات التربة التي مداها الحجمي 4 الى 9 ملم لقياس توزيع احجام تجمعات التربة وثباتيتها بطريقة النخل الرطب (22). ربطت تجمعات التربة بطريقة الغمر المباشر، اذ غمرت التجمعات بالماء لمدة ست دقائق داخل زجاجة ساعة، من ثم وضعت التجمعات الرطبة فوق مجموعة من المناخل المغمورة بالماء ذات اقطار 4.75 و 2.36 و 1.00 و 0.50 و 0.25 ملم واجريت عملية النخل الرطب لمدة ست دقائق بواسطة جهاز النخل يودر Yoder Machine . حسب النسب المئوية لتوزيع احجام تجمعات التربة ولمختلف المديات الحجمية لمعاملات التربة، كذلك تم احتساب معدل القطر الموزون كما ورد في Youker و McGuinness (32) .

قدرت العلاقة بين المحتوى الرطوبي الحجمي والجهد المائي لعينات التربة ذات المحتوى الجبسي المختلف وهي بنفس الكثافة الظاهرية التي تم قياسها مسبقاً. إذ حضرت أعمدة بلاستيكية مكونة من حلقات بقطر 5 سم وارتفاع 1 سم ويسمك 0.2 سم، ربطت الحلقات بعضها ببعض بشريط

إذ أن: θ_r = المحتوى الرطوبي الحجمي المتبقي (سم³/سم³) - θ_s = المحتوى الرطوبي الحجمي عند الإشباع (سم³/سم³) - ψ = جهد الماء (كيلوباسكال). و $\theta = \theta_s$ = المحتوى الرطوبي الحجمي عند أي قيمة من قيم جهد الماء (سم³/سم³) - α و n و m = ثوابت تجريبية. استخرجت قيم الثوابت α و n و m بعد أن تم حل معادلة 1 باستعمال

لتقدير توزيع احجام مسامات التربة استعملت بيانات منحنى الوصف الرطوبي وطبقت معادلة الخاصية الشعرية في حساب توزيع اقطار مسامات التربة الفعالة الآتية (26):

$$D = \frac{4\sigma \cos \beta}{\ell_w g \psi} \quad [3]$$

التعويض عن القيم اعلاه في معادلة 3 تم الحصول على معادلة لحساب قطر المسام الفعال بدلالة الجهد المائي المسلط على التربة تحت ظروف المختبر القياسية من حيث درجة الحرارة والضغط الجوي الاتية:

$$D \cong \frac{0.298}{\psi}$$

الرطوبي المتبقي θ عند كل جهد ماء مسلط على التربة كما وردت في مجيد (7). اذ قامت الباحثة بدمج معادلة 4 مع معادلة 1 فاستحصلت على معادلة لحساب قطر المسام الفعال بدلالة المحتوى الرطوبي المتبقي θ_r والمحتوى الرطوبي عند الاشباع θ_s فضلا عن معايير منحني الوصف الرطوبي α و n و m والتي هي معايير معادلة van Genuchten (28)، وفق المعادلة الاتية:

$$D = 0.298 \alpha \left[\left(\frac{\theta - \theta_r}{\theta_s - \theta_r} \right)^{\frac{-1}{m}} - 1 \right]^{\frac{-1}{n}} \quad [5]$$

يمثل الحد $\frac{\theta - \theta_r}{\theta_s - \theta_r}$ في معادلة 5 المحتوى الرطوبي النسبي Θ :

$$\Theta = \frac{\theta - \theta_r}{\theta_s - \theta_r} \quad [6]$$

الحجمية الاكبر من 250 مايكرون. ان سبب زيادة نسبة التجمعات الاصغر من 250 مايكرون يعزى الى ضعف بناء الترب الجبسية اذ يسهل انحلالها بالماء وعدم ثبات تجمعاتها بسبب ضعف قوة التماسك التي تحافظ على تجمع الدقائق الاولية والتجمعات الثانوية للترب الجبسية (17) كما وان التربة تتميز بانخفاض محتواها من مفضولات الطين والمادة العضوية (جدول 1)، فضلاً عن القابلية العالية لذوبان الجبس في الماء مما ساهم في جعل بناء التربة الجبسية بناء غير مستقر وغير ثابت، (23).

ان D : قطر المسام الفعال (سم) وهو دالة لحجم المسام، و σ الشد السطحي للماء ويساوي 72.7 غم.ثا⁻² عند درجة حرارة 20 م°، و β زاوية التماس بين جدار مسام التربة والماء، و ρ_w كثافة الماء ويساوي 1 ميكاغرام. م-3 تقريباً، و g التعجيل الارضي ويساوي 980 سم.ثا⁻². وعند

[4]

ان فكرة تعرض التربة الى جهد مائي مسلط يرافقه فقدان الماء من التربة وتستمر هذه الحالة الى حين الوصول الى نقطة الاتزان بين جهد مسك كمية الماء المتبقية في مسامات التربة والجهد المائي المسلط. لذا فان قياس قطر المسام الفعال بدلالة الجهد المائي (معادلة 4) يمثل حجم اكبر مسام يحتفظ بالماء عند الجهد المائي المسلط. لذلك طبقت طريقة اخرى مبتكرة لحساب توزيع احجام مسامات التربة بدلالة المحتوى

النتائج والمناقشة

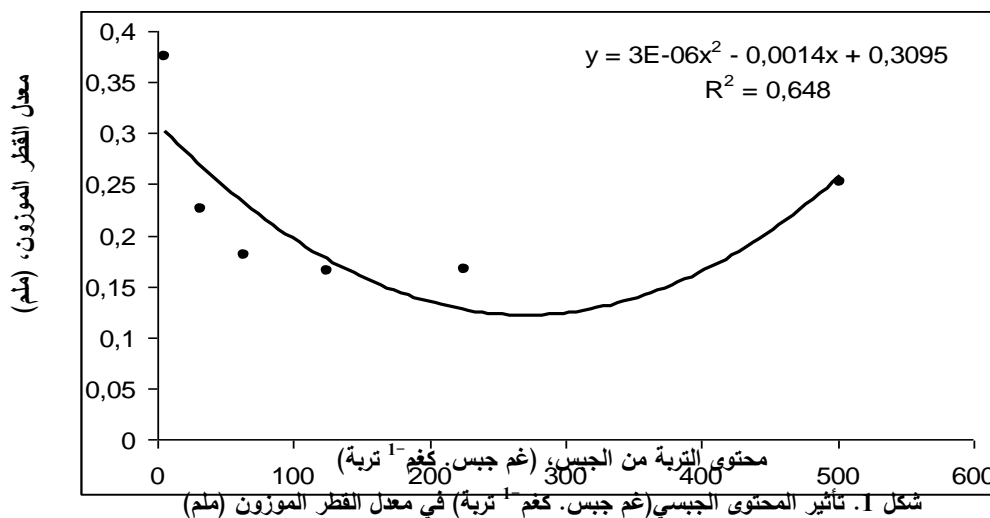
يبين جدول 2 النسب المئوية لتجمعات التربة ذات المحتوى الجبسي المختلف ولكل مدى حجمي من مديات اقطار المناخل المستعملة في عملية النخل. يتضح من الجدول ان تجمعات التربة قد تركزت في المديات الحجمية الصغيرة اذ ان اكثر من 80% من التجمعات كانت بحجم اقل من 250 مايكرون ولجميع نماذج تربة الدراسة عدا نموذج التربة الذي محتواه من الجبس 502 غم جبس. كغم⁻¹ تربة. اما تجمعات التربة ذات الحجم اكبر من 250 مايكرون فقد كانت نسبتها 20% وان هذه النسبة قد توزعت على المديات

جدول 2. النسب المئوية لتجمعات التربة ذات محتوى جبسي مختلف ولمديات حجمية حسب اقطار فتحات المناخل المستعملة في عملية النخل الرطب

محتوى التربة من الجبس (غم جبس.كغم ⁻¹ تربة)						المدى الحجمي لتجمعات التربة (ملم)
502	255	125	64	32	5	4.75-9.00
0.00	0.00	0.00	0.00	0.38	0.82	2.36-4.75
0.00	0.00	0.00	0.36	0.63	3.21	1.00-2.36
1.94	0.65	0.68	0.86	1.28	2.07	0.50-1.00
8.86	1.88	1.51	1.68	2.34	5.94	0.25-0.50
16.70	7.98	7.82	7.55	7.33	6.07	0.00-0.25
72.50	89.49	89.99	89.55	88.04	81.89	

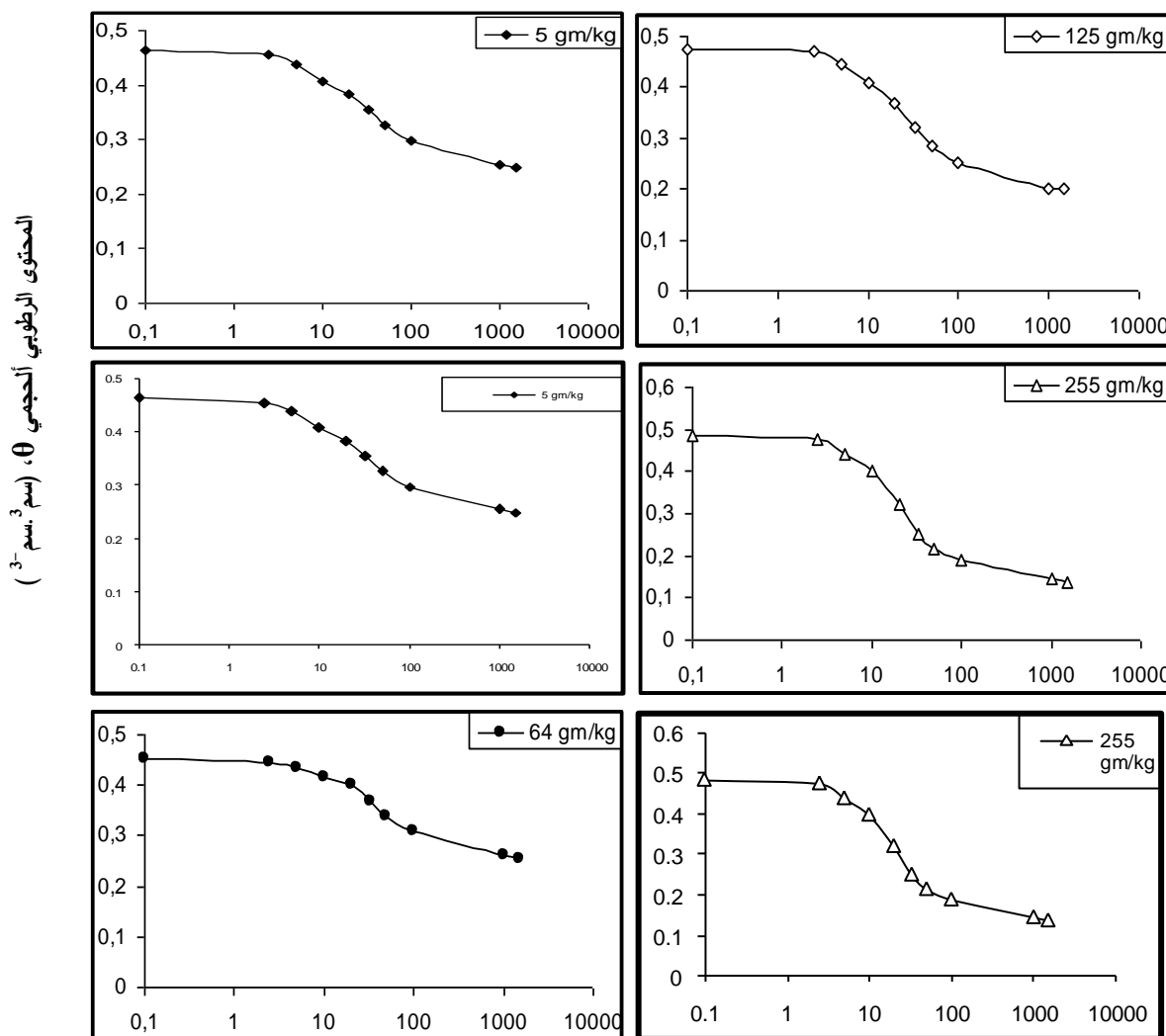
تربة، من بعد ذلك ازداد معدل القطر الموزون وبنسبة 51.8% عند زيادة المحتوى الجبسي الى 502 غم جبس. كغم⁻¹ تربة لتكون قيمة MWD، 0.252 ملم. ان انخفاض قيمة MWD بزيادة المحتوى الجبسي قد يعزى الى قدرة الترب الجبسية على التبلل وقدرة الجبس العالية على الذوبان الذي ادى الى ضعف بناء التربة فحصل انحلال للتربة ومن ثم هدم بناءها (6 و 1). ولكن مع زيادة المحتوى الجبسي الى 502 غم جبس. كغم⁻¹ تربة حصلت زيادة في معدل القطر الموزون وهذا قد يعزى الى زيادة حجم بلورات الجبس والتي تكون بحجم دقائق الرمل المتوسط والناعم فازدادت كتلة هذه البلورات ضمن المديات الحجمية اكبر من 250 مايكرون (جدول 2)، وهذا ما اكده من قبل كل من Al-Rawi و Sys (10) و الجنابي واخرون (2) اذ ذكر الباحثون ان حجم بلورات الجبس تزداد بزيادة المحتوى الجبسي في التربة.

من المقاييس الاحصائية المستعملة في تقويم بناء التربة هي المقاييس الموزونة كمعدل القطر الموزون MWD، يبين شكل 1 تأثير المحتوى الجبسي في معدل القطر الموزون، اذ ادت زيادة المحتوى الجبسي في التربة الى انخفاض معدل القطر الموزون لتجمعات التربة فاطهر الشكل علاقة ارتباط غير خطية من الدرجة الثانية وبمعامل تحديد $R^2 = 0.648$. يتضح من الشكل ان نموذج التربة ذي اقل محتوى جبسي (5 غم جبس. كغم⁻¹ تربة) قد اعطى اعلى قيمة لـ MWD، 0.375 ملم، في حين اعطى نموذجي التربة 125 و 225 غم جبس. كغم⁻¹ تربة اقل قيمة لـ MWD اذ كانت بحدود 0.165 و 0.166 ملم على التوالي. هذا يعني ان بناء التربة قد تدهور نتيجة زيادة المحتوى الجبسي فحصل انخفاض في معدل القطر الموزون وبنسبة 56% عند زيادة المحتوى الجبسي من 5 الى 125 وصولا الى 225 غم جبس. كغم⁻¹



α و n و m فضلاً عن θ_r و θ_s . لقد اظهرت معادلة 1 تطابقاً جيداً للقيم المقاسة والقيم المحسوبة، إذ كانت قيم معامل التحديد R^2 اكبر من 0.997 ولجميع نماذج تربة الدراسة وان الذي يؤكد حسن التطابق انخفاض قيم معدل المربعات المتبقي θ Residual mean square (RMS θ)، إذ كانت القيم اقل من 5.19×10^{-5} (سم³. سم⁻³)² ولجميع نماذج الترب الخاضعة للاختبار (جدول 3).

يبين شكل 2 منحنيات الوصف الرطوبي لتربة ذات محتوى جبسي مختلف وتمثل المنحنيات علاقة جهد ماء التربة ψ مع المحتوى الرطوبي الحجمي θ وتظهر النقاط في الشكل البيانات المقاسة للمحتوى الرطوبي عند جهود مائية محددة في حين تظهر الخطوط البيانية افضل تمثيل لتطابق بيانات ψ ضد θ وفق معادلة van Genuchten (28)، (معادلة 1) واعتبرت بيانات محسوبة. ويبين جدول 4 معايير معادلة 1،



شكل 2. العلاقة بين جهد ماء التربة (ψ) والمحتوى الرطوبي الحجمي (θ) لتربة ذات محتوى مختلف من الجبس.

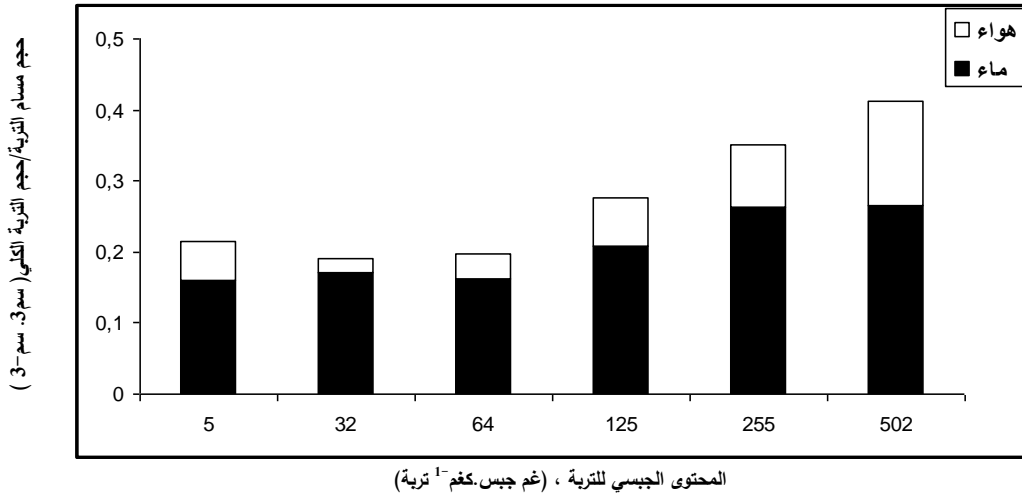
جدول 3. قيم معايير معادلة van Genuchten (θ_r و θ_s و α و n و m) لمنحنيات الوصف الرطوبي وقيم معايير أفضل تطابق (R^2 و RMS0)

R^2	RMS0 ($\text{cm}^3 \cdot \text{cm}^{-3}$) ²	m	n	A	θ_s	θ_r	محتوى التربة من الجبس (غم. كغم ⁻¹)
0.9986**	1.25×10^{-5}	1.0362	1.0197	0.0032	0.465	0.249	5
0.9976**	1.70×10^{-5}	0.5874	1.7372	0.0038	0.442	0.252	32
0.9980**	1.43×10^{-5}	1.2429	1.0746	0.0018	0.453	0.255	64
0.9988**	1.94×10^{-5}	0.8373	1.2888	0.0045	0.476	0.199	125
0.9979**	5.19×10^{-5}	0.6134	1.6616	0.0076	0.487	0.137	255
0.9992**	2.56×10^{-5}	0.3649	2.4162	0.0135	0.501	0.089	502

** معنوية عند مستوى 0.01 .

المحتوى الجبسي اذ امتلك نموذج التربة 32 غم جبس. كغم⁻¹ تربة اقل نسبة مسام مملوءة بالهواء اذ بلغ 0.018 سم³. سم⁻³ في حين امتلك النموذج 502 غم جبس. كغم⁻¹ تربة اعلى نسبة مسام مملوءة بالهواء اذ بلغ 0.147 سم³. سم⁻³ . هذا يعني ان زيادة المحتوى الجبسي للتربة من 32 الى 502 غم جبس. كغم⁻¹ تربة ادى الى زيادة في حجم المسامات المملوءة بالهواء 8 مرات. اما نسبة المسامات المملوءة بالماء الجاهز فقد كان منخفضاً في نموذجي التربة 5 و 64 غم جبس. كغم⁻¹ تربة، وازدادت النسبة في بقية النماذج وامتلك نموذج التربة ذي المحتوى الجبسي 502 غم جبس. كغم⁻¹ تربة اعلى نسبة مسامات مملوءة بالماء اذ بلغت 0.265 سم³ . سم⁻³ . مما يعني ان قدرة التربة على تجهيز الماء تزداد بزيادة محتوى التربة من الجبس ويعزى السبب في ذلك قدرة هذه النماذج على اطلاق كمية ماء اكثر من النماذج ذات المحتوى الاقل من الجبس عند نفس الجهود المائية التي تتعرض لها التربة، ويمكن تفسير ذلك من خلال ميل منحنيات الوصف الرطوبي والذي سيأتي ذكراً لاحقاً

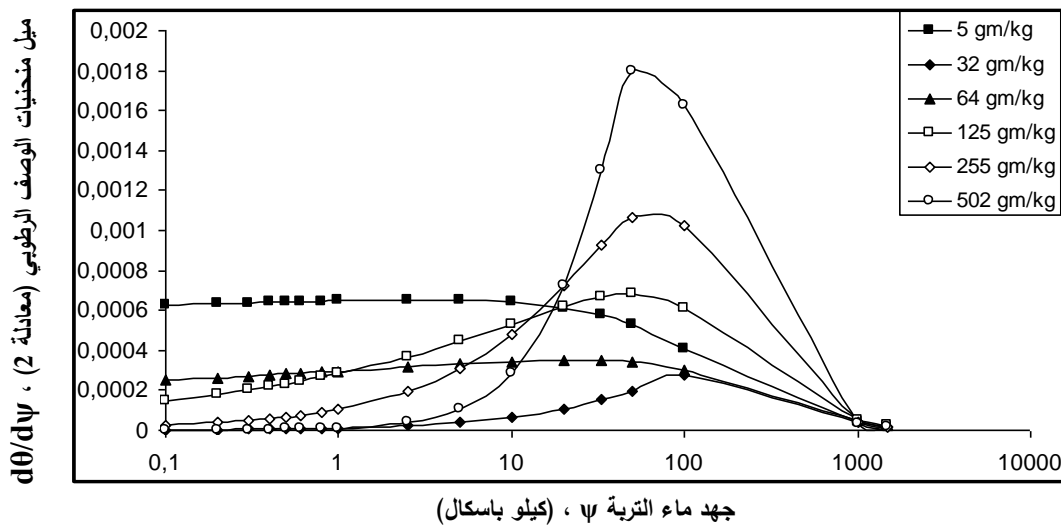
بالرجوع إلى جدول 1 يتبين ان نسجة نماذج التربة هي من النوع الخشن اذ تراوحت النسجة بين نسجة مزيجة ومزيجة رملية، وعليه سيكون المحتوى الرطوبي الحجمي المتبقي عند جهد ماء 10 كيلوباسكال مناسباً ليحدد السعة الحقلية لنماذج التربة ذات المحتوى الجبسي المختلف (26 و 24). ان فرق المحتوى الرطوبي بين جهد ماء التربة 0.1 كيلوباسكال والجهد المائي 10 كيلوباسكال يمثل مسامات تربة مملوءة بالهواء air-filled porosity (المسامية الهوائية) وهي مسامات ذات حجم اكبر من 29.8 مايكرون كقطر فعال لمسامات التربة (معادلة 4)، في حين ان فرق المحتوى الرطوبي بين جهد ماء التربة 10 كيلوباسكال و جهد ماء 1500 كيلوباسكال يمثل سعة مسك التربة للماء water holding capacity وهو ما يعادل عمق الماء الجاهز وهي مسامات مملوءة بالماء وان حجمها اصغر من 29.8 مايكرون (26 و 16). يبين شكل 3 حجم مسامات التربة المملوءة بالهواء والحجم المملوء بالماء لتربة ذات محتوى جبسي مختلف يظهر من الشكل ان نسبة المسامات المملوءة بالهواء تقل مع زيادة محتوى الجبس ثم تاخذ بالزيادة بزيادة



شكل 3. احجام مسامات التربة المملوءة بالهواء ضمن مدى جهد الماء من 0,1 الى 10 كيلوباسكال واحجام مسامات التربة المملوءة بالماء ضمن مدى جهد الماء من 10 الى 1500 كيلوباسكال لتربة ذات محتوى جيسي مختلف.

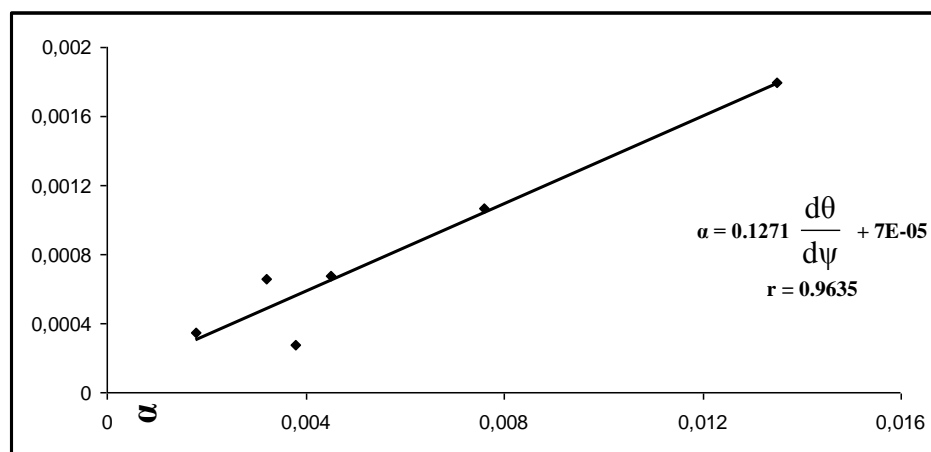
الى جهد ماء 1500 كيلوباسكال، هذا الانخفاض شمل جميع نماذج تربة الدراسة كما هو موضح في شكل 4. ان التغيرات الحاصل في القيمة المطلقة لميل منحنيات الوصف الرطوبي والتغيرات الحاصل في قمة المنحنيات دالة الميل هو نتيجة لتاثير المحتوى الجيسي للتربة في توزيع حجوم المسامات فاطهر هذا انحراف تصاعدي في قمة المنحنيات بزيادة المحتوى الجيسي. لهذا السبب كانت نماذج الترب ذات المحتوى الجيسي العالي اكثر قابلية على تجهيز الماء عند تعرضها لجهد مائي مسلط وهذا يستدل عليه من عمق الماء الجاهز (شكل 3) المرتبط ارتباطاً وثيقاً بميل منحنيات الوصف الرطوبي (26 و 24).

يبين شكل 4 علاقة القيمة المطلقة لميل منحنيات الوصف الرطوبي $\frac{d\theta}{d\psi}$ بالجهد المائي ψ لتربة ذات محتوى جيسي مختلف. يتضح من الشكل ان ميل الدالة يزداد بزيادة الجهد المائي الى حين الوصول الى اعلى قمة للميل، اذ حصل هذا عند جهد ماء 50 كيلوباسكال لنماذج تربة محتواها من الجبس 125 و 255 و 502 غم جيس.كغم⁻¹ تربة، في حين امتلك النموذج 32 غم جيس.كغم⁻¹ تربة اعلى قمة عند جهد ماء 100 كيلوباسكال. اما نموذجي التربة 5 و 64 غم جيس.كغم⁻¹ تربة فقد اظهرا تغير طفيف في الميل بدءاً من جهد ماء 0.1 كيلوباسكال ولغاية 10 كيلو باسكال بعدها حصل انخفاض في ميل الدالة واستمر هذا الانخفاض وصولاً



شكل 4. تاثير محتوى الجبس في ميل منحنيات الوصف الرطوبي بعد اخذ تفاضل معادلة van Genuchten (معادلة 2) متضمنة معايير معادلة 1 كما وردت في جدول 4.

لمنحنيات الوصف الرطوبي قد ارتبطت بزيادة محتوى التربة من الجبس (شكل 4)، وان قيم α ايضا ارتبطت بزيادة اقيامها بزيادة محتوى التربة من الجبس (جدول 3)، لذا ظهرت علاقة الارتباط الخطي الموجب بين α و $\frac{d\theta}{d\psi}$ وهذا يؤكد ان النظام المسامي للتربة والتوزيع الحجمي للمسامات قد تآثر بالمحتوى الجبسي للتربة فانعكس هذا على عمق الماء الجاهز وعلى كمية الماء المحتفظ بها عند تعرض التربة الى جهد مائي مسلط، اذ ان كمية الماء المحتفظ بها هو دالة للقطر الفعال لمسامات التربة عند الجهد المائي المسلط وهذا ما اثبتته الشكلان 3 و 4 .



اعلى ميل $\frac{d\theta}{d\psi}$ لمنحنيات الوصف الرطوبي

شكل 5 . علاقة α وهو احد معايير معادلة van Genuchten 1980 (معادلة 1) مع قيمة اعلى ميل $\frac{d\theta}{d\psi}$ لمنحنيات الوصف الرطوبي

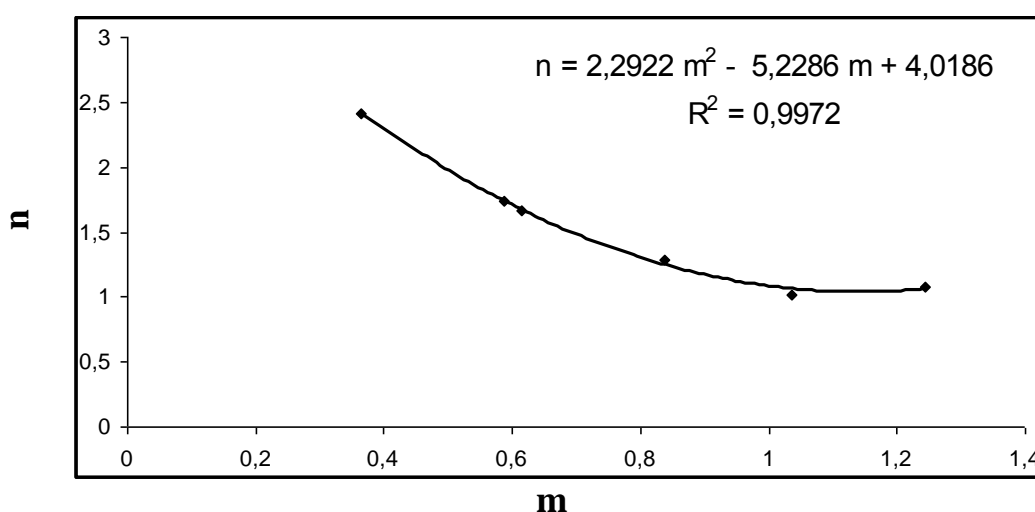
انحدار المنحنى باتجاه اعلى قيمة سالبة للجهد المائي (31)، و m معامل اخر لتحديد شكل منحنى الوصف الرطوبي وهو معامل غير معتمد على المعامل n ، n independent (29). يتضح من الشكل ان بزيادة قيم m انخفضت قيم n ويلاحظ ان هذه العلاقة مرتبطة بالمحتوى الجبسي للتربة فزيادة المحتوى الجبسي ازدادت قيم n في حين انخفضت قيم m

من مؤشرات توزيع احجام مسامات التربة علاقة α (سم⁻¹) وهو احد معايير معادلة van Genuchten (28)، (معادلة 1) مع القيمة المطلقة لميل منحنى الوصف الرطوبي (31). يبين شكل 5 هذه العلاقة واطهر علاقة ارتباط خطي موجب وبمعامل ارتباط عالي ($r = 0.9635$) بين α و قيمة اعلى ميل لمنحنيات الوصف الرطوبي، اذ ان بزيادة قيمة اعلى ميل ازدادت قيم α وهذا شمل جميع نماذج تربة الدراسة عدا النموذج ذي المحتوى الجبسي 32 غم جبس. كغم⁻¹ تربة الذي انحرف عن هذه العلاقة الخطية ويعزى السبب في ذلك الى طبيعة توزيع مسامات هذا النموذج. وكما هو معلوم سابقاً ان زيادة قيمة اعلى ميل

من المعايير الاخرى المرتبطة بطبيعة انحدار منحنيات الوصف الرطوبي، n و m وهما من معايير معادلة 1 . يبين شكل 6 علاقة n مع m واطهر الشكل علاقة ارتباط من الدرجة الثانية ذات انحدار سالب وبمعامل تحديد عالي المعنوية ($R^2 = 0.9972$). يمثل n (عديم الوحدات) معامل لتحديد معدل تغير ميل منحنى الوصف الرطوبي عندما يتغير

وهذا متوافق مع انخفاض المحتوى الجبسي. لقد جاءت هذه النتيجة مقارنة للنتائج الذي توصل اليها Fritton (19) عند اختبار انموذج رياضي تجريبي محور عن معادلة van Genuchten (28) لتقييم كثافة التربة الظاهرية عند مستويات رطوبة مختلفة، اذ اشار الباحث ان n دالة لـ m ($n=f(m)$) وان m دالة للنظام المسامي للتربة فهو دالة للمحتوى الرطوبي الحجمي للتربة ($m=f(\theta)$) ودالة للجهد المائي ($m=f(\psi)$)، فحصل على علاقة ارتباط اسية سالبة الانحدار بين n و m .

(جدول 3) وهذا شمل جميع نماذج الدراسة عدا النموذج ذي المحتوى الجبسي 32 غم جبس.كغم⁻¹ تربة. ان زيادة محتوى التربة من الجبس قد انعكس على خصائص التربة اذ بزيادة المحتوى الجبسي زادت خشونة التربة (جدول 1) مما انعكس على توزيع احجام مسامات التربة والذي اظهر تغاير في قدرة التربة على مسك الماء عند الجهود المائية المسلطة، وعليه يمكن القول ان زيادة n هو اشارة لانخفاض قدرة التربة على حفظ الماء عند تعرضها لجهود مائية مسلطة وهذا كان متوافق مع زيادة المحتوى الجبسي، في نفس الوقت زيادة قيم m اشارة لزيادة قدرة التربة على مسك الماء عند تعرضها للجهد المائي



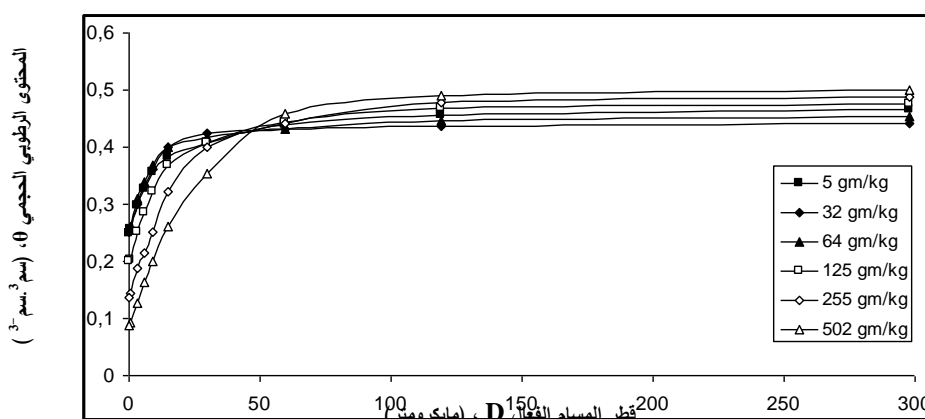
شكل 6. العلاقة بين n و m وهما من معايير معادلة 1 لمعاملات التربة ذات محتوى جبسي مختلف

التربة ويلاحظ ان حجم المسام (pore volume) يزداد بشدة عندما يصغر قطر المسام (pore diameter)، ويمكن الاستدلال عن حجم المسام في نماذج التربة من كمية المحتوى الرطوبي الذي تحتفظ به التربة عند تعرضها لجهد مائي محدد، وهذا يمثل مسامات التربة ذات قطر اقل من 29.8 مايكرون والذي يقابل جهد ماء 10 كيلوباسكال. ان نسبة حجم المسام المحتفظ بالماء عند تعرض نماذج التربة لهذا الجهد 0.74 و 0.90 و 0.82 و 0.75 و 0.75 و 0.64 كمحتوى رطوبي نسبي عند المدى الرطوبي $0 < \theta < 1$ (معادلة 6)، لنماذج تربة ذات محتوى جبسي 5 و 32 و 64 و 125 و 255 و 502 غم جبس.كغم⁻¹ تربة بالتتابع. اما نسبة حجم المسام ذي القطر الفعال اكبر من 29.8 مايكرون فهي 0.26 و 0.10 و 0.18 و 0.25 و 0.25 و 0.36

يبين شكل 7 علاقة قطر المسام الفعال (D) المحسوب من تطبيق معادلة 4 مع المحتوى الرطوبي الحجمي θ لنماذج تربة الدراسة. يلاحظ ان بزيادة قطر المسام الفعال يزداد المحتوى الرطوبي للتربة ولكن بشكل متفاوت من تربة الى اخرى. فعندما يكون قطر المسامات الفعالة اصغر من 30 مايكرون يزداد محتوى التربة من الرطوبة مع انخفاض المحتوى الجبسي ويعزى السبب في ذلك ان المحتوى الرطوبي في مثل هذه الظروف مرتبط بالتوزيع الحجمي لمسامات التربة وبالتوزيع الحجمي لمفصولات التربة وبالمساحة النوعية للتربة (14). بزيادة قطر المسامات الفعالة (اكبر من 50 مايكرون ولغاية 300 مايكرون) ازداد المحتوى الرطوبي بزيادة المحتوى الجبسي ويعزى السبب في ذلك الى زيادة مسامية التربة (جدول 1) اذ ازدادت المسامية الكلية بزيادة المحتوى الجبسي. يمثل شكل 7 منحنى توزيع احجام مسامات

فقد تراوحت نسبتها في نماذج التربة بين 64 و 90 سم³ سم⁻³. يعد هذا التوزيع لاحجام مسامات التربة مهماً لتحديد بيئة التربة المائية والبيولوجية اذ امتلكت نماذج التربة نسبة جيدة من المسامات الناقلة للماء وهي مهمة لحركة وانتشار الماء في التربة لذلك تميزت النماذج ذات المحتوى الجبسي العالي (125 و 255 و 502 غم جبس.كغم⁻¹ تربة) بايصالية وانتشار مائي جيد (8) بسبب زيادة نسبة المسامات الناقلة والتي بلغت اكثر من ربع حجم النظام المسامي لهذه النماذج.

وهذا يساوي $(1 - \frac{\theta - \theta_r}{\theta_s - \theta_r})$ ضمن المدى الرطوبي $0 < \theta < 1$ لنماذج تربة ذات محتوى جبسي 5 و 32 و 64 و 125 و 255 و 502 غم جبس.كغم⁻¹ تربة بالتتابع. يتضح مما سبق ان النظام المسامي المملوء بالهواء هو من نوع mesopores وهي مسامات ناقلة للماء (26) ييزل منها الماء عند تعرض التربة لجهد ماء 10 كيلوباسكال، وقد تراوحت نسبة هذه المسامات في نماذج التربة بين 10 و 36 سم³ سم⁻³، اما المسامات الخازنة للماء وهي المسامات التي تحتفظ بالماء عند تعرض التربة لجهد ماء 10 كيلوباسكال،



شكل 7. علاقة قطر المسام الفعال D المحسوب بتطبيق معادلة 4 مع المحتوى الرطوبي الحجمي θ لتربة ذات محتوى جبسي مختلف

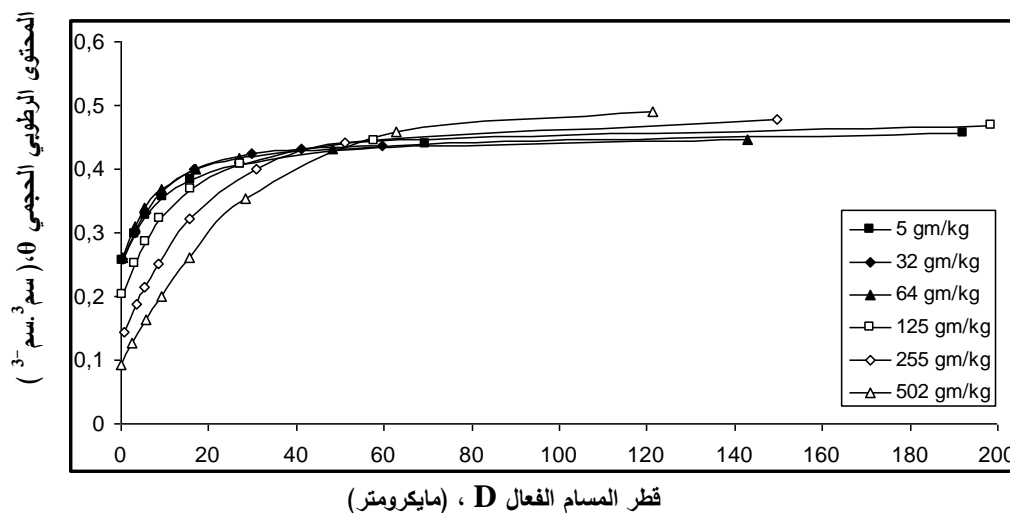
الذي ينتج عنه انخفاض في النشاط البيولوجي، وقلة محتوى التربة من الطين الذي يعمل على ربط دقائق وتجمعات التربة (جدول 1)، (26).

يبين شكل 8 علاقة قطر المسام الفعال D بعد ان تم احتسابه بتطبيق معادلة 5 مع المحتوى الرطوبي الحجمي θ (7). يظهر ولجميع المعاملات ان θ تزداد اسيا بزيادة D ، ولكن هذه الزيادة تختلف باختلاف محتوى التربة من الجبس ، بسبب اختلاف توزيع احجام مسامات التربة كما توضح ذلك سابقا. امكن الحصول على اعلى قيم قطر المسام الفعال عند مستويات رطوبة عالية وقبل الوصول الى حالة الاشباع (جهد ماء مسلط 2.5 كيلوباسكال)، اذ بلغت قيم D المحسوبة 192 مايكرون (5 غم جبس. كغم⁻¹ تربة، $\theta = 0.455$) و 59.4 مايكرون (32 غم جبس. كغم⁻¹ تربة، $\theta = 0.436$) و 142.9 مايكرون (64 غم جبس. كغم⁻¹ تربة، $\theta =$

امتلكت نماذج تربة الدراسة القليل من المسامات كبيرة الحجم macropores ويستدل على ذلك من منحنيات الوصف الرطوبي (شكل 2) اذ ان ميل منحنيات الوصف الرطوبي ولغاية جهد ماء 10 كيلوباسكال هو ميل قليل (شكل 4) بسبب حالة التسطح flat في المنحنى عند الجهود المائية القليلة تحديدا من نقطة الاشباع ولغاية جهد ماء 10 كيلوباسكال (26). ان التواجد القليل لمسامات التربة الكبيرة قد يعزى الى الحالة البنائية لنماذج التربة الجبسية اذ تميزت هذه النماذج ببناء ضعيف وتكوين تجمعات تربة صغيرة الحجم اذ بلغت نسبة تجمعات التربة ذات حجم اصغر من 250 مايكرون اكثر من 80% (جدول 2). ان العمليات السائدة والمؤثرة في تجمع وتكوين تجمعات التربة هو ما ينتج عن العمليات البيولوجية والكيميائية لنظام التربة، هذه العمليات هي عمليات ذات تاثير ضعيف بسبب قلة المادة العضوية

تربة، $0.202 = \theta$ و 0.56 مايكرون (255 غم جبس. كغم⁻¹ تربة، $0.145 = \theta$ و 0.15 مايكرون (502 غم جبس. كغم⁻¹ تربة، $0.092 = \theta$). بافتراض ان المسامات ذات قطر فعال اكبر من 50 مايكرون هي المسامات الناقلة للماء من نوع mesopores (26 ، 30)، فان نسبة حجم المسامات الناقلة قد انخفضت بنسبة 2% في حين ان نسبة حجم المسامات الخازنة (اقل من 50 مايكرون) قد ازدادت بنسبة 2% عند المقارنة مع تلك التي تم احتسابها من تطبيق معادلة 4 (شكل 7).

0.446 و 198 مايكرون (125 غم جبس. كغم⁻¹ تربة، $0.469 = \theta$ و 150 مايكرون (255 غم جبس. كغم⁻¹ تربة، $0.478 = \theta$ و 121.2 مايكرون (502 غم جبس. كغم⁻¹ تربة، $0.491 = \theta$). ويتعرض نماذج التربة الى جهود مائية عالية انخفض المحتوى الرطوبي للتربة وقبل الوصول الى المحتوى الرطوبي المتبقي θ_r (جهد ماء مسلط 1000 كيلوباسكال)، قل قطر المسام الفعال المحسوب فاصبح 0.33 مايكرون (5 غم جبس. كغم⁻¹ تربة، $0.255 = \theta$ و 0.45 مايكرون (32 غم جبس. كغم⁻¹ تربة، $0.259 = \theta$ و 0.41 مايكرون (64 غم جبس. كغم⁻¹ تربة، $0.261 = \theta$ و 0.20 مايكرون (125 غم جبس. كغم⁻¹ تربة، $\theta =$



شكل 8 . علاقة قطر المسام الفعال D المحسوب من معادلة 5 مع المحتوى الرطوبي الحجمي θ لتربة ذات محتوى جبسي مختلف

معرفة رياضيا (مالانهاية)، ولتجاوز هذا الخلل يفضل اخذ قيم θ قبل الوصول الى الاشباع وقبل الوصول الى الرطوبة المتبقية ($\theta_s < \theta < \theta_r$) وبذلك تكون هذه الطريقة ملائمة لتحديد مدى واسع من الاقطار الفعالة لمسامات التربة كدالة لتوزيع احجام مسامات التربة.

يستنتج من هذا البحث ان الترب ذات المدى الواسع من المحتوى الجبسي امتلكت بناء ضعيف وغير ثابت، اذ شكلت تجمعات نماذج التربة ذات الحجم اقل من 250 مايكرون نسبة اكثر من 80% من التوزيع الحجمي لتجمعات التربة، وان معدل القطر الموزون يقل بزيادة محتوى التربة من الجبس. اختلفت منحنيات الوصف الرطوبي باختلاف المحتوى الجبسي وان ميل منحنيات الوصف الرطوبي قد

اظهرت نتائج معادلة 5 (شكل 8) تقارب جيد مع نتائج معادلة 4 (شكل 7)، وان معادلة 5 اخذت بنظر الاعتبار عند احتساب القطر الفعال تايثير المحتوى الرطوبي المتبقي θ_r والمحتوى الرطوبي عند الاشباع θ_s فضلا عن المحتوى الرطوبي θ عند كل جهد ماء مسلط على التربة وكذلك تايثير معايير معادلة van Genuchten (28)، α و n و m)، اذ ادخلت في تقييم قطر المسام الفعال وهذا ما اثبتته النتائج. يتضح ان معادلة 5 طريقة مطورة لتحديد توزيع احجام مسامات التربة ولكنها تنطوي على حالة سلبية هي ان قطر المسام عند المحتوى الرطوبي المتبقي θ_r (جهد ماء التربة 1500 كيلوباسكال) وعند المحتوى الرطوبي في حالة الاشباع θ_s (جهد ماء التربة 0.1 كيلوباسكال) يكون ذي قيمة غير

والمذاب في تربة جبسية. أطروحة دكتوراه. قسم التربة. كلية الزراعة-جامعة بغداد. ع ص 117.

7- مجيد، شذى سالم. 2008. العلاقة بين معايير ثباتية تجمعات التربة والمسامية وبعض الخصائص المائية لترب مختلفة النسجة والاستخدام. رسالة ماجستير. قسم علوم التربة والمياه. كلية الزراعة-جامعة بغداد. ع ص 117.

8- مهدي، ندير طه. 2008. تأثير محتوى الجبس في منحنى الوصف الرطوبي والايصالية المائية غير المشبعة في التربة. مجلة العلوم الزراعية العراقية. 39(3):10-23.

9- Al-Ani, A. N. and M. Dudas. 1988. Influence of calcium carbonate on mean weight diameter of soils. Soil and Tillage Research. 11: 19-26.

10- Al-Rawi, Gh. J. and C. Sys. 1967. A comparative study between Euphrates and Tigris sediment in the Mesopotamian Flood Plain. Pedology, XVII, 2, 187-211.

11- Blake, B. R. and K. H. Hartge. 1986a. Bulk density. In A. Klute (ed.). Methods of Soil Analysis, Part 1, 2nd edn. Agron. Monogr. No. 9. ASA and SSSA. Madison, WI. p. 363-375.

12- Blake, B. R., and K. H. Hartge. 1986b. Particle density. In A. Klute (ed.). Methods of Soil Analysis, Part 1, 2nd edn. Agron. Monogr. No. 9. ASA and SSSA. Madison, WI. p. 377-382.

13- Boyadgiev, T.G. 1974. Contribution to the Knowledge of gypsiferous soils. AGON/SF/SYR/67/522. FAO, Rome. cited in Saliem, K. A. 2001. The Effect of Irrigation Water Quality and Application on the Properties of Gypsiferous Soils for Al-Dour Area. Ph.D. Dissertation. Department of Soil. College of Agriculture. University of Baghdad. pp. 155.

14- Chan, T. P. 2005. Modeling of Coarse Textured Soils and Their Hydraulic Properties. Ph.D. Thesis. Purdue University. p. 177.

15- Day, P.R. 1965. Particle fractionation and particle size analysis. In C.A. Black (ed.). Methods of Soil Analysis Part 1, Agron. Ser. No. 9, Am. Soc. Agron: Madison, WI. p. 545-567.

16- Eynard, A., T. E. Schumacher., M. J. Lindstrom. And D.D. Malo. 2004. Porosity

اختلف باختلاف الجهد المائي المسلط وباختلاف المحتوى الجبسي اذ ازداد الميل بزيادة المحتوى الجبسي. هنالك علاقة ارتباط جيدة بين α وقيمة اعلى ميل لمنحنيات الوصف الرطوبي وهما من الدوال المهمة لتوزيع حجوم مسامات التربة. اظهرت نتائج تطبيق معادلتى 4 و 5 تقارب جيد في تحديد قيم القطر الفعال لمسامات التربة واوصى ان تستعمل معادلة 5 في احتساب القطر الفعال للمسامات مع اجراء تطوير في استعمالها مستقبلاً للتغلب على حالة فشل المعادلة في احتساب D عندما يكون $\theta_r = \theta$ و $\theta_s = \theta$.

المصادر

1- الجبوري، محمد حسين سلمان. 1997. تأثير محتوى الجبس في الرص وفي بعض الصفات الفيزيائية للتربة. رسالة ماجستير. قسم التربة. كلية الزراعة-جامعة بغداد. ع ص 78.

2- الجنابي، علاء صالح ومعتصم داود اغا وهشام محمود حسن. 1989. الخصائص الفيزيائية لبعض الترب الجبسية في العراق. وقائع بحوث المؤتمر العلمي الخامس لمجلس البحث العلمي. علوم التربة-القسم الأول/7-11 تشرين الأول-1989 - بغداد- العراق. ص 13-24.

3- القرني، عباس حميد نياض. 2005. التحليل التجريبي لمعايير معادلة Green and Ampt لغيض الماء في ترب مختلفة النسجة. رسالة ماجستير. قسم علوم التربة والمياه. كلية الزراعة-جامعة بغداد. ع ص 103.

4- دوغرامه جي، جمال شريف، عبدالله نجم العاني و عبد الخالق صالح الحديثي. 1994. تأثير محتوى الجبس في بعض الصفات الفيزيائية للتربة. مجلة العلوم الزراعية العراقية. 25(1):38-45.

5- سليم، قاسم احمد. 2001. تأثير نوعية ماء الري وطريقة اضافته في صفات الترب الجبسية لمنطقة الدور. أطروحة دكتوراه. قسم التربة. كلية الزراعة-جامعة بغداد. ع ص 155.

6- شهاب، رمزي محمد. 1997. أثر إضافة زيت الوقود والبنبتونايت في بعض الخصائص الفيزيائية وانتقال الماء

- 25- Smith, R. and V.C. Robertson. 1962. Soil and irrigation classification of shallow soils overlying gypsum beds. Northern Iraq. *Journal of Soil Science*. 13(1): 106-115.
- 26- Startsev, A. D. and D. H. McNabb. 2001. Skidder traffic effects on water retention, pore-size distribution, and van Genuchten parameters of boreal forest soils. *Soil Sci. Soc. Am. J.* 65: 224-231.
- 27- U.S. Salinity laboratory staff. 1954. Diagnosis and improvement of saline and alkali soils. USDA. Handbook No, 60, Washington, D. C. pp. 160.
- 28- van Genuchten, M. Th. 1980. A closed-form equation for predicting the hydraulic conductivity of unsaturated soils. *Soil Sci. Soc. Am. J.* 44: 892-898.
- 29- van Genuchten, M. Th., and D. R. Nielsen. 1985. On describing and predicting the hydraulic properties of unsaturated soils. *Ann Geophys.* 3(5): 615-628. Cited in Wosten, J. H. M. and M. TH. van Genuchten. 1988. Using texture and other soil properties to predict the unsaturated soil hydraulic functions. *Soil Sci. Soc. Am. J.* 52: 1762-1770.
- 30- Virto, M. J., I. P. Bescansa. and A. Enrique. 2005. Pore size distribution in relation to soil physical properties in two irrigated semiarid Mediterranean soils as affected by management. *Geophysical Research Abstracts*. 7: 03223.
- 31- Wosten, J. H. M. and M. TH. van Genuchten. 1988. Using texture and other soil properties to predict the unsaturated soil hydraulic functions. *Soil Sci. Soc. Am. J.* 52: 1762-1770.
- 32- Youker, R. E., and J. L. McGuinness. 1956. A short method of obtaining mean weight-diameter values of aggregate analysis of soils. *Soil Sci.* 83: 291-294.
- and Pore-size distribution in cultivated Ustolls and Usterts. *Soil Sci. Soc. Am. J.* 68: 1927-1934.
- 17- F.A.O. 1990. Management of Gypsiferous Soils. F.A.O. Soils bull. No 62. F.A.O. Rome. pp. 80.
- 18- Feike, J.L., T. A. Ghezzehei. and D. Or. 2002. Analytical models for soil pore-size distribution after tillage. *Soil Sci. Soc. Am. J.* 66: 1104-1114.
- 19- Fritton, D. D. 2006. Fitting uniaxial soil compression using initial bulk density, water content, and matric potential. *Soil Sci. Soc. Am. J.* 70: 1262-1271.
- 20- Homae, M. and A. F. Firouzi. 2008. Deriving point and parametric pedotransfer functions of some gypsiferous soils. *Australian Journal of Soil Research*. 46: 219-227.
- 21- Jackus, L. 1977. Morphogenetics of Karst Regions. Adam Hilger, Bristol. (C.F.) Elorza, M.G. and F.G. Santolalla. 1998. Geomorphology of the tertiary gypsum formations in the Ebro Depression (Spain). *Geoderma*. 87: 1-29.
- 22- Kemper, W. D., and I. Chepil. 1965. Size distribution of aggregates. In C.A. Black (ed.). *Methods of Soil Analysis Part 1, Agron. Ser. No. 9, Am. Soc. Agron: Madison, WI.* p. 499-510.
- 23- Lebron, I., D. L. Suarez. and T. Yoshida. 2002. Gypsum effect on the Aggregate size and geometry of three sodic soils under reclamation. *Soil Sci. Soc. Am. J.* 66:92-98.
- 24- McNabb, D. H., A. D. Startsev. and H. Nguyen. 2001. Soil wetness and traffic level effect on bulk density and air-filled porosity of compacted boreal forest soils. *Soil Sci. Soc. Am. J.* 65: 1238-1247.